

(株)三菱総合研究所 正会員・高橋 弘
建設者土木研究所 正会員 古賀泰之
建設省土木研究所 正会員 谷口栄一

1. はじめに

落石現象は、わが国特有の自然条件により引き起こされ、道路災害としても発生頻度の高い現象である。この災害を未然に防止し、道路交通の安全性を確保することは重要な問題であり、今後、円滑かつ効果的な落石防災対策の推進が必要とされる。それゆえ、本研究ではひとつのアプローチとして、落石災害の発生現象をモデル化し、落石発生箇所における落石防災対策のあり方を検討するため、妥当投資額推定手法の基礎的検討を行うこととした。

2. 妥当投資額推定手法

一般に落石現象は、気象、水文あるいは地形、地質等の自然条件の異常変化により引き起こされ、その変化的程度と道路沿道に設置された落石防護工の種類、規模等さらには道路利用状況により落石災害の程度が異なる。

したがって、本研究においては、①落石現象と落石災害影響のモデル化、②落石災害発生状況の確率論的展開、③落石防護工の建設コストと被害程度、並びに④落石災害（事故）コストの算定方法を検討し、建設関連コスト(C_1)と影響関連コスト(C_2)からなる総費用($C_1 + C_2$)の最小値から妥当投資額を推定することとした(図-1参照)。

(1) 落石発生現象と落石災害影響のモデル化

落石発生現象については、未だ解明されていない点が多くあるが、本研究では、過去の落石発生データをファイルし、次の関係式を求め、さらに時間及び地域特性の影響を考慮した補正値を入力することによりモデル化を図った。

$$y = a e^{-bx} \quad (1)$$

ここで y : 落石発生件数 x : 落石位置エネルギー (t·m)

a : 自然対数の底 b : 年間落石発生確率の補正值

次に、落石防止施設への到達、路面落下等の落石到達モデルと、落石防護工の損壊に関する位置エネルギーと被害実積の関係から、落石防護工の損壊に関するモデル化を図り、落石事故発生に伴う落石災害影響等を表-1のように体系づけた。

(2) 落石災害発生状況の確率論的展開

落石発生から被害に至るまでの過程は、次に示す各事象の確率を与えることによって展開される。

(3) 落石発生関連の確率(図-2参照)

P_1 : 落石位置エネルギー別発生確率

P_2 : 落石防護工到達確率

P_3 : 落石防護工内残存確率

P_4 : 路面到達確率

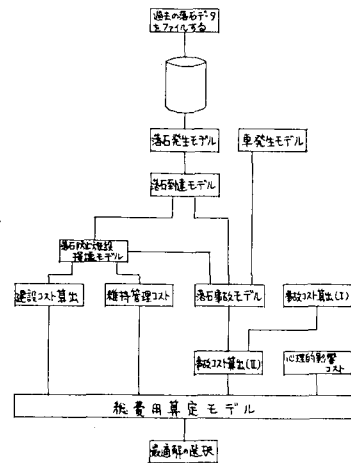


図-1 妥当投資額推定手順

表-1 落石災害による影響等

影響箇 所コスト	直接被害 影響コスト (C ₁₁)	従田等コスト (C ₁₂)	施設損傷 (C ₁₃)	
			路面構造 (C ₁₄)	交通規制 (C ₁₅)
			重転覆傷コスト (C ₁₆)	
			間接被害 影響コスト (C ₁₇)	走行時間コスト (C ₁₈)
				走行(大走行)コスト (C ₁₉)
				心理的影響 コスト (C ₂₀)
建設関 連コスト (C ₁₀)	維持管理コスト (C ₁₂)			
		建設コスト (C ₁₁)		

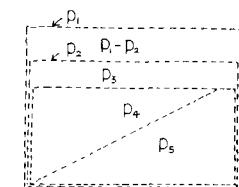


図-2 落石発生関連の確率と領域

- P_5 : 道路下斜面到達確率
 ⑤ 車発生関連確率(図-3参照)
 P_6 : 車発生確率

- ⑥ 影響関連の確率(図-4参照)
 P_a : 岩石防止施設損壊確率
 P_b : 路面損壊確率
 P_c : 車輌損壊確率

この結果、影響関連は、図-5のように示され次のようになる。

$$P_a = P_1 \times (P_4 + P_5), P_b = P_1 \times (P_4 + P_5) \times (1 - P_6) \quad (2), (3)$$

$$P_c = P_1 \times (P_4 + P_5) \times P_6 \quad (4)$$

(3) 岩石防護工の建設コストと被害程度

対象とした岩石防護工は、岩石防止網、岩石防止柵、岩石防止壁であり、岩石位置エネルギーと建設コストにおいては、次式の関係が成立する。

$$\text{岩石防止網} (\text{万円}/\text{m}^2) \quad C_{11}(E) = 0.426 e^{0.110E} \quad (5)$$

$$\text{岩石防止柵} (\text{万円}/\text{m}) \quad C_{12}(E) = 0.528 E + 1.747 \quad (6)$$

$$\text{岩石防止壁} (\text{万円}/\text{m}) \quad C_{13}(E) = 0.864 E + 6.537 \quad (7)$$

ここで、
 C_{11} : 建設コスト

E : 岩石位置エネルギー ($\text{t}\cdot\text{m}$)

e : 自然対数の底

また、建設コストと被害程度は、これまでの事故例より、岩石防護工別に岩石位置エネルギーとの関係で対応づけた。

(4) 岩石災害コストの算定と妥当投資額の推定

岩石災害による被害コストは、岩石位置エネルギー別岩石事故の確率関数で与えられ、事故が発生した場合の費用は次式から求められる。また、妥当投資額はその最小値として与えられる。

$$C = C_1 + C_2 = C_{11} + C_{12} + C_{21} + C_{22} + C_e \quad (8)$$

ここで、
 C : 総費用

C_1 : 建設関連コスト ($= C_{11} + C_{12}$)

C_2 : 影響関連コスト ($= C_{21} + C_{22} + C_e$)

C_{11} : 建設コスト

C_{12} : 構造管理コスト

C_{21} : 直接被害影響コスト ($= C_{a1} + C_{b1} + C_{c1} + C_{d1}$)

C_a : 施設損壊 ($= \pi_a \cdot Q_a$), C_b : 路面補修 ($= \pi_b \cdot Q_b$)

C_{c1} : 交通規制 ($= \pi_{c1} \cdot Q_{c1}$), C_d : 車輌補償 ($= \pi_d \cdot Q_d$)

C_{22} : 間接被害影響コスト ($= C_{e1} + C_{e2}$)

C_{e1} : 時間費用 ($= \pi_{e1} \cdot Q_{e1}$), C_{e2} : 燃料費用 ($= \pi_{e2} \cdot Q_{e2}$)

C_e : 心理的影響コスト

ただし、上述の Q は、耐用年数 (T) 内の確率を示し、 P との間に、 $Q = 1 - e^{-P \cdot T}$ の関係が成立する。

これまでの検討結果を踏まえ、三種類の岩石防護施設の概略試算を行うと図-6のように示される。これは設計水準ともいべき岩石位置エネルギーごとに、岩石防護柵については単位面積当たりのコストで、また、岩石防護柵、岩石防護壁については単位長さ当たりのコストで示したものである。

3 おわりに

本研究は、プロレミナリィな概略検討であるが、岩石災害の確率論的展開による岩石防護対策の妥当投資額の推定においてひとつの見通しがつき、今後、多面的な研究を進めることにより手法の精緻化が可能となる。



図-3 車発生関連の確率と領域

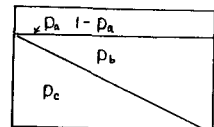


図-4 影響関連の確率と領域

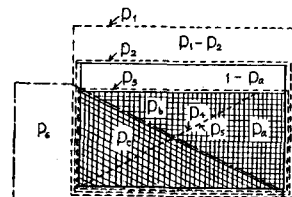


図-5 各確率の関連と領域

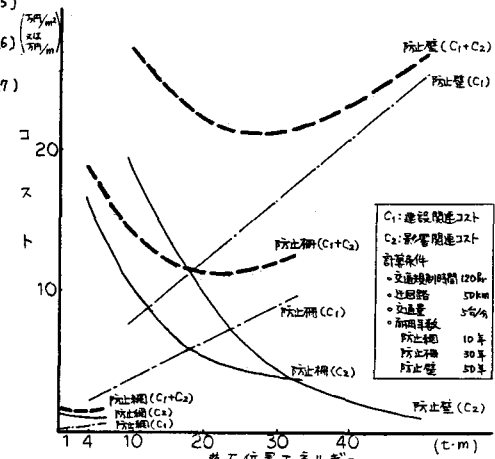


図-6 岩石防護施設の費用曲線